



Laboratorium EMVO Sp. J. Urbański, Pawelak  
ul. Jasna 1  
00-013 Warszawa

tel. +48 22 780 29 64  
e-mail: laboratorium@emvo.pl



AB 1630

## Sprawozdanie z pomiarów pól elektromagnetycznych - środowisko ogólne nr 33/08/OŚ/2022– P4-W



<b>Nr i nazwa stacji</b>	<b>SUW3310B</b>	
<b>Adres</b>	<b>Suwałki, 1-go Maja 35D, dz. nr 10900/7, pow. Suwałki, woj. podlaskie</b>	
<b>Opracowanie</b>	<b>Justyna Karczmarczyk</b>	<b>Specjalista ds. pomiarów</b>
<b>Autoryzacja</b>	<b>Andrzej Urbański</b>	<b>Kierownik Laboratorium</b>
<b>Podpis</b>		
<b>Data</b>	<b>2022-08-08</b>	

## Spis treści

1. Informacje ogólne.....	3
2. Podstawa prawna. ....	3
3. Opis pomiarów.....	4
4. Zróżnicowanie dopuszczalne poziomy pól elektromagnetycznych.....	5
5. Charakterystyka źródeł PEM.....	5
6. Wyniki pomiarów.....	5
7. Stwierdzenie zgodności .....	6
8. Oświadczenie.....	8
9. Spis załączników. ....	8

## 1. Informacje ogólne.

Zleceniodawca	P4 sp. z o.o., ul. Wynałazek 1, 02-677 Warszawa osoba udzielająca informacji- Monika Bieroza
Istotne informacje dostarczone przez klienta	komplet informacji niezbędnych do wykonania pomiarów i opracowania sprawozdania
Dane otrzymane od klienta mogące mieć wpływ na ważność wyników	Dane anten sektorowych, dane anten radioliniowych, parametry pracy instalacji, ustawienie pochylenia anten
Prowadzący instalację	P4 sp. z o.o., ul. Wynałazek 1, 02-677 Warszawa
Lokalizacja obiektu	Suwałki, 1-go Maja 35D, dz. nr 10900/7, pow. Suwałki, woj. podlaskie
Miejsce instalacji anten	Dach budynku
Miejsce instalacji urządzeń	Outdoor
Osoby wykonujące pomiar	Roman Murawski
Data wykonania pomiaru	08.08.2022
Temperatura na początku pomiaru [°C]	20,0
Temperatura na koniec pomiaru [°C]	20,0
Warunki atmosferyczne	Brak opadów
Wilgotność na początku pomiaru [%]	59,0
Wilgotność na koniec pomiaru [%]	59,0
Godzina na początku pomiaru	15:37
Godzina na koniec pomiaru	18:01
Inne źródła pól elektromagnetycznych oznaczone na załączniku graficznym	Występują inne źródła PEM
Parametry pracy instalacji	Tryb eksploatacyjny

## 2. Podstawa prawna.

### 2.1 Normy i rozporządzenia:

- Rozporządzeniem Ministra Klimatu z dnia 17 lutego 2020 r. w sprawie sposobów sprawdzania dotrzymania dopuszczalnych poziomów pól elektromagnetycznych w środowisku (Dz.U. 2020 poz. 258)
- Rozporządzenie Ministra Zdrowia z dnia 17 grudnia 2019 r. w sprawie dopuszczalnych poziomów pól elektromagnetycznych w środowisku (Dz.U. 2019 poz. 2448)
- Obwieszczenie Marszałka Sejmu Rzeczypospolitej Polskiej z dnia 19 lipca 2019 r. w sprawie ogłoszenia jednolitego tekstu ustawy - Prawo ochrony środowiska (Dz.U. 2019 poz. 1396)
- Rozporządzenie Ministra Klimatu i Środowiska z dnia 6 maja 2022 r. zmieniające rozporządzenie w sprawie sposobów sprawdzania dotrzymania dopuszczalnych poziomów pól elektromagnetycznych w środowisku (Dz.U. 2022 poz. 1121).

„Bez pisemnej zgody Laboratorium niniejsze sprawozdanie nie może być powielane inaczej, jak tylko w całości. Ponadto wyniki dotyczą tylko badanych obiektów przywołanych w niniejszym sprawozdaniu z badań”

### 3. Opis pomiarów

Metodologia pomiarowa	Pomiary w oparciu o Rozporządzeniem Ministra Klimatu z dnia 17 lutego 2020 r. w sprawie sposobów sprawdzania dotrzymania dopuszczalnych poziomów pól elektromagnetycznych w środowisku (Dz.U. 2020 poz. 258) oraz Rozporządzenie Ministra Klimatu i Środowiska z dnia 6 maja 2022 r. zmieniające rozporządzenie w sprawie sposobów sprawdzania dotrzymywania dopuszczalnych poziomów pól elektromagnetycznych w środowisku (Dz.U. 2022 poz. 1121).
Cel badań	Określenie wartości natężenia pola elektrycznego w miejscach dostępnych dla ludności.
Opis zestawu pomiarowego	Miernik Narda NBM 550, Sonda EF-6092, o zakresie pomiarowym 0,7 V/m – 300V/m pracująca w paśmie 0,1 – 90 GHz, świadectwo wydane przez Laboratorium Wzorców i Metrologii Pola Elektromagnetycznego, Instytut Telekomunikacji, Teleinformatyki i Akustyki Politechniki Wrocławskiej. Świadectwo ważne do 10.06.2024 r. Miernik Narda NBM 550, Sonda EF-6092 pracująca w zakresie temperatury -10°C - +50°C oraz wilgotności 5% - 95% Niepewność rozszerzona wynosi 58,8% przy poziomie ufności 95% z uwzględnieniem współczynnika rozszerzenia k=2.
Wyposażenie pomocnicze	Termohigrometr Bestone, typ: GM1362-EN-00, nr identyfikacyjny 1222436, świadectwo wzorcowania z dn. 22.12.2015 r. wydane przez Laboratorium Pomiarowe "MUTECH". Przymiar wstępowy STABILA, nr identyfikacyjny 5/WL/2016, świadectwo wzorcowania z dn. 06.09.2016 r. wydane przez Zespół Laboratoriów wzorcujących Okręgowego Urzędu Miar w Gdańsku. GPS Garmin 64s okresowo sprawdzany w punktach osnowy geodezyjnej klasy 3 na podstawie licencji punktu, zgodnie z procedurą sprawdzeń okresowych IS/PO-16-11/03.
Pomiary zostały wykonane	<ol style="list-style-type: none"><li>1. na głównych i pomocniczych kierunkach pomiarowych, na kierunkach zbliżonych do azymutów anten oraz w dodatkowych pionach pomiarowych zgodnie z wymaganiami pkt 12, 13, 14 i 19 Rozporządzenia Ministra Klimatu z dnia 17 lutego 2020 r. (Dz. U. 2020, poz. 258) oraz Rozporządzenia Ministra Klimatu i Środowiska z dnia 6 maja 2022 r. zmieniającego rozporządzenie w sprawie sposobów sprawdzania dotrzymywania dopuszczalnych poziomów pól elektromagnetycznych w środowisku (Dz.U. 2022 poz. 1121).</li><li>2. na obszarze pomiarowym, dla którego, na podstawie uprzednio przeprowadzonych obliczeń stwierdzono w miejscach dostępnych dla ludności występowanie pól elektromagnetycznych o najwyższym poziomie, które pochodzą z badanej instalacji zgodnie z wymaganiami pkt 5 ppkt 2 oraz pkt 13 ppkt 1 Rozporządzenia Ministra Klimatu z dnia 17 lutego 2020 r. w sprawie sposobów sprawdzania dotrzymania dopuszczalnych poziomów pól elektromagnetycznych w środowisku (Dz. U. 2020, poz. 258) oraz Rozporządzenia Ministra Klimatu i Środowiska z dnia 6 maja 2022 r. zmieniającego rozporządzenie w sprawie sposobów sprawdzania dotrzymywania dopuszczalnych poziomów pól elektromagnetycznych w środowisku (Dz.U. 2022 poz. 1121). Wyniki obliczeń nie uwzględniały parametrów pracy instalacji innych operatorów występujących na obiekcie bądź w obszarze pomiarowym.</li><li>3. w miejscach dostępnych dla ludności.</li><li>4. miejsca niedostępne podczas wykonywania pomiarów wskazane zostały w pkt 6 (tabeli wyniki pomiarów).</li></ol>

Szczególne warunki podczas wykonywania pomiarów

Pomiary wykonane zostały podczas obowiązywania w kraju stanu zagrożenia epidemicznego, zgodnie z art. 122a ust. 1b Ustawy z dnia 27 kwietnia 2001 r. – Prawo ochrony środowiska (Dz. U. z 2019 r. poz. 1396, z późn. zm.9)).

Warunki pracy urządzeń nadawczych

Tryb pracy eksploatacyjny.

#### 4. Zróżnicowanie dopuszczalne poziomych pól elektromagnetycznych.

Zakresy znajdują się w Dzienniku Ustaw z dnia 17 grudnia 2019 r. przedstawione są w tabeli nr 2 (Dz. U. z 2019r. poz. 2448).

Parametr fizyczny	Składowa elektryczna E (V/m)	Składowa magnetyczna H (A/m)	Gęstość mocy S (W/m <sup>2</sup> )
Zakres Częstotliwości pola elektromagnetycznego			
od 400 MHz do 2000 MHz	$1,375 \times f^{0,5}$	$0,0037 \times f^{0,5}$	f / 200
od 2 GHz do 300 GHz	61	0,16	10

#### 5. Charakterystyka źródeł PEM.

Zgodnie z informacją otrzymaną od Klienta pomiary zostały wykonane przy ustawieniach pochylecia anten zgodnych z pkt. 13, ppkt 2 Rozporządzenia Ministra Klimatu z dnia 17 lutego 2020 roku.

Tabela 1. Anteny sektorowe - dane otrzymane od klienta

Charakterystyka promieniowania		kierunkowa														
Rzeczywisty czas pracy [h/dobę]		24														
Rodzaj wytwarzanego pola		stacjonarne														
Lp	Wyszczególnienie	sektor 1					sektor 2					sektor 3				
<b>I Nadajnik stacji bazowej:</b>																
1	Typ / Producent	DBS/RBS / Overlay Huawei/Ericsson														
2	Częstotliwość (pasmo) MHz	2100	1800	900	2600	800	2100	1800	900	2600	800	2100	1800	900	2600	800
3	Maksymalna moc nadawana na sektor [dBm]	53,01	53,01	49,03	52,04	49,03	53,01	53,01	49,03	52,04	49,03	53,01	53,01	49,03	52,04	49,03
<b>II Obciążenie:</b>																
1	Typ anteny	Huawei ATR4518R6		Huawei ATR4518R6		Huawei ATR4518R6		Huawei ATR4518R6		Huawei ATR4518R6		Huawei ATR4518R6		Huawei ATR4518R6		
2	Producent anteny	Huawei		Huawei		Huawei		Huawei		Huawei		Huawei		Huawei		
3	Ilość anten	1		1		1		1		1		1		1		
4	Azymut	0					120					240				
5	Zakres kątów pochylecia anten [°]	0-10					0-10					0-10				
6	Wysokość zainst. n.p.t. [m]	30,15					30,15					30,15				
7	EIRP [W]	17163		9358		17163		9358		17163		9358		9358		

Tabela 2. Anteny radioliniowe- dane otrzymane od klienta

Charakterystyka promieniowania				kierunkowa			
Rzeczywisty czas pracy [h/dobę]				24			
Rodzaj wytwarzanego pola				stacjonarne			
Lp	Linia radiowa			Antena			
	typ/producent	częstotliwość pracy [GHz]	moc wyjściowa [dBm]	typ/producent	średnica anteny [m]	azymut [°]	wysokość zainstal. [m]
1	OPTIX RTN/HUAWEI	80	18	VHLP2-80/Andrew	0,6	264	28,15

## 6. Wyniki pomiarów.

Wyniki pomiarów pól elektromagnetycznych dla celów ochrony środowiska przedstawia poniższa tabela. Piony pomiarowe zostały przedstawione w zał. 2.

Nr PP	Pole-E [V/m]	Pole-E, +U [V/m]	Pole-H [A/m]	Pole-H +U [A/m]	Wys. pomiaru [m]	Opis pionu	Uwagi	WM <sub>E</sub>	WM <sub>H</sub>
1	1,6	2,54	0,004	0,007	0,3-2,0	N:54°05'51,4" E:22°56'17,2"	otoczenie stacji bazowej - 100m wzdłuż gł. osi promieniowania - GKP	0,091	0,092
2	0,8	1,27	0,002	0,003	0,3-2,0	N:54°05'53,7" E:22°56'17,5"	otoczenie stacji bazowej - 175m wzdłuż gł. osi promieniowania - GKP	0,045	0,046
3	0,7*	1,27	0,002	0,003	0,3-2,0	N:54°05'55,5" E:22°56'17,7"	otoczenie stacji bazowej - 225m wzdłuż gł. osi promieniowania - GKP	0,045	0,046
4	0,7*	1,27	0,002	0,003	0,3-2,0	N:54°05'57,9" E:22°56'17,8"	otoczenie stacji bazowej - 302m wzdłuż gł. osi promieniowania - GKP	0,045	0,046
5	1,6	2,54	0,004	0,007	0,3-2,0	N:54°05'47,3" E:22°56'19,3"	otoczenie stacji bazowej - 50m wzdłuż gł. osi promieniowania - GKP	0,091	0,092
6	1,8	2,86	0,005	0,008	0,3-2,0	N:54°05'46,5" E:22°56'21,5"	otoczenie stacji bazowej - 100m wzdłuż gł. osi promieniowania - GKP	0,102	0,104
7	1,2	1,91	0,003	0,005	0,3-2,0	N:54°05'45,6" E:22°56'23,9"	otoczenie stacji bazowej - 150m wzdłuż gł. osi promieniowania - GKP	0,068	0,069
8	1,1	1,75	0,003	0,005	0,3-2,0	N:54°05'43,8" E:22°56'28,3"	otoczenie stacji bazowej - 250m wzdłuż gł. osi promieniowania - GKP	0,062	0,063
9	2,2	3,49	0,006	0,009	0,3-2,0	N:54°05'47,4" E:22°56'14,5"	otoczenie stacji bazowej - 50m wzdłuż gł. osi promieniowania - GKP	0,125	0,127
10	1,3	2,06	0,003	0,005	0,3-2,0	N:54°05'46,7" E:22°56'11,8"	otoczenie stacji bazowej - 100m wzdłuż gł. osi promieniowania - GKP	0,074	0,075
11	1,2	1,91	0,003	0,005	0,3-2,0	N:54°05'46,0" E:22°56'09,6"	otoczenie stacji bazowej - 150m wzdłuż gł. osi promieniowania - GKP	0,068	0,069
12	1,4	2,22	0,004	0,006	0,3-2,0	N:54°05'45,3" E:22°56'07,0"	otoczenie stacji bazowej - 200m wzdłuż gł. osi promieniowania - GKP	0,079	0,081
13	1,0	1,59	0,003	0,004	0,3-2,0	N:54°05'44,5" E:22°56'04,7"	otoczenie stacji bazowej - 250m wzdłuż gł. osi promieniowania - GKP	0,057	0,058
14	0,9	1,43	0,002	0,004	0,3-2,0	N:54°05'43,8" E:22°56'02,4"	otoczenie stacji bazowej - 302m wzdłuż gł. osi promieniowania - GKP	0,051	0,052
15	2,2	3,49	0,006	0,009	0,3-2,0	N:54°05'48,1" E:22°56'14,1"	otoczenie stacji bazowej - 50m wzdłuż gł. osi promieniowania - GKP	0,125	0,127
16	0,9	1,43	0,002	0,004	0,3-2,0	N:54°05'47,9" E:22°56'11,4"	otoczenie stacji bazowej - 100m wzdłuż gł. osi promieniowania - GKP	0,051	0,052
17	1,1	1,75	0,003	0,005	0,3-2,0	N:54°05'48,6" E:22°56'13,3"	otoczenie stacji bazowej -PKP	0,062	0,063
18	1,0	1,59	0,003	0,004	0,3-2,0	N:54°05'49,7" E:22°56'13,0"	otoczenie stacji bazowej -PKP	0,057	0,058
19	1,2	1,91	0,003	0,005	0,3-2,0	N:54°05'49,3" E:22°56'14,5"	otoczenie stacji bazowej -PKP	0,068	0,069
20	1,4	2,22	0,004	0,006	0,3-2,0	N:54°05'50,4" E:22°56'19,6"	otoczenie stacji bazowej -PKP	0,079	0,081
21	1,3	2,06	0,003	0,005	0,3-2,0	N:54°05'49,5" E:22°56'21,2"	otoczenie stacji bazowej -PKP	0,074	0,075
22	1,6	2,54	0,004	0,007	0,3-2,0	N:54°05'47,9" E:22°56'21,6"	otoczenie stacji bazowej -PKP	0,091	0,092

„Bez pisemnej zgody Laboratorium niniejsze sprawozdanie nie może być powielane inaczej, jak tylko w całości. Ponadto wyniki dotyczą tylko badanych obiektów przywołanych w niniejszym sprawozdaniu z badań”

23	1,1	1,75	0,003	0,005	0,3-2,0	N:54°05'46,4" E:22°56'18,8"	otoczenie stacji bazowej -PKP	0,062	0,063
24	1,6	2,54	0,004	0,007	0,3-2,0	N:54°05'45,9" E:22°56'16,4"	otoczenie stacji bazowej -PKP	0,091	0,092
25	1,4	2,22	0,004	0,006	0,3-2,0	N:54°05'46,2" E:22°56'13,6"	otoczenie stacji bazowej -PKP	0,079	0,081
A	1,0	1,59	0,003	0,004	0,3-2,0	N:54°05'48,0" E:22°56'17,6"	1 Maja 35D, pomiar przed budynkiem - DPP	0,057	0,058
B	2,2	3,49	0,006	0,009	0,3-2,0	N:54°05'47,4" E:22°56'16,0"	1 Maja 35D, pomiar przed budynkiem - DPP	0,125	0,127
C	1,4	2,22	0,004	0,006	0,3-2,0	N:54°05'49,0" E:22°56'17,3"	1 Maja 35C, pomiar przed budynkiem - DPP	0,079	0,081
D	2,1	3,33	0,006	0,009	0,3-2,0	N:54°05'50,0" E:22°56'17,8"	1 Maja 31, pomiar przed budynkiem - DPP	0,119	0,121
E	1,5	2,38	0,004	0,006	0,3-2,0	N:54°05'48,3" E:22°56'19,4"	1 Maja 35D, pomiar przed budynkiem - DPP	0,085	0,087
F	1,3	2,06	0,003	0,005	0,3-2,0	N:54°05'49,4" E:22°56'19,6"	1 Maja 35D, pomiar przed budynkiem - DPP	0,074	0,075
G	1,2	1,91	0,003	0,005	0,3-2,0	N:54°05'50,0" E:22°56'15,1"	1 Maja 31A, pomiar przed budynkiem - DPP	0,068	0,069
H	1,2	1,91	0,003	0,005	0,3-2,0	N:54°05'50,2" E:22°56'12,9"	1 Maja 33, pomiar przed budynkiem - DPP	0,068	0,069
I	1,4	2,22	0,004	0,006	0,3-2,0	N:54°05'52,7" E:22°56'17,6"	1 Maja 27A, pomiar przed budynkiem - DPP	0,079	0,081
J	0,8	1,27	0,002	0,003	0,3-2,0	N:54°05'54,4" E:22°56'17,6"	1 Maja 25A, pomiar przed budynkiem - DPP	0,045	0,046
K	0,7*	1,27	0,002	0,003	0,3-2,0	N:54°05'56,4" E:22°56'17,9"	Waryńskiego 22, pomiar przed budynkiem - DPP	0,045	0,046
L	1,3	2,06	0,003	0,005	0,3-2,0	N:54°05'45,9" E:22°56'21,5"	Wigierska 51, pomiar przed budynkiem - DPP	0,074	0,075
M	1,2	1,91	0,003	0,005	0,3-2,0	N:54°05'45,3" E:22°56'23,5"	Wigierska 59, pomiar przed budynkiem - DPP	0,068	0,069
N	1,2	1,91	0,003	0,005	0,3-2,0	N:54°05'45,3" E:22°56'25,5"	Wigierska 65, pomiar przed budynkiem - DPP	0,068	0,069
O	1,1	1,75	0,003	0,005	0,3-2,0	N:54°05'44,6" E:22°56'26,4"	Wigierska 72/74, pomiar przed budynkiem - DPP	0,062	0,063
P	1,2	1,91	0,003	0,005	0,3-2,0	N:54°05'44,6" E:22°56'28,6"	Wigierska 78, pomiar przed budynkiem - DPP	0,068	0,069
R	1,3	2,06	0,003	0,005	0,3-2,0	N:54°05'46,2" E:22°56'12,6"	1 Maja 41, pomiar przed budynkiem - DPP	0,074	0,075
S	1,4	2,22	0,004	0,006	0,3-2,0	N:54°05'45,2" E:22°56'14,1"	Wigierska 33, pomiar przed budynkiem - DPP	0,079	0,081
T	1,7	2,70	0,005	0,007	0,3-2,0	N:54°05'45,3" E:22°56'05,5"	Wigierska 17a, pomiar przed budynkiem - DPP	0,096	0,098
U	1,0	1,59	0,003	0,004	0,3-2,0	N:54°05'45,2" E:22°56'04,4"	Wigierska 15, pomiar przed budynkiem - DPP	0,057	0,058
V	0,9	1,43	0,002	0,004	0,3-2,0	N:54°05'44,7" E:22°56'03,4"	Wigierska 13, pomiar przed budynkiem - DPP	0,051	0,052

Wynik pomiaru pole - E [V/m] - maksymalna wartość chwilowa zmierzona w danym pionie pomiarowym (uśredniona na podstawie punktu 11 Rozporządzenia Ministra Zdrowia).

Przyjęto najniższą dopuszczalną wartość składowej elektrycznej pola dla objętego pomiarami zakresu częstotliwości  $\min(ME_{gr}) = 28 \text{ V/m}$  oraz składowej magnetycznej  $\min(MH_{gr}) = 0,073 \text{ A/m}$ .

\* - wartość zmierzona poniżej zakresu akredytacji. Do obliczeń przyjęto wartość zgodną z dolną granicą akredytowanego zakresu pomiarowego metody.

GKP - główne kierunki pomiarowe

PKP - pomocnicze kierunki pomiarowe

DPP - dodatkowe punkty pomiarowe

PP - pion pomiarowy

U - niepewność pomiarowa rozszerzona, przy poziomie ufności 95%, z uwzględnieniem współczynnika rozszerzenia  $k=2$

$WM_E$  - wartość wskaźnikowa poziomu emisji pól elektromagnetycznych dla miejsc dostępnych dla ludności dla składowej elektrycznej pola

$WM_H$  - wartość wskaźnikowa poziomu emisji pól elektromagnetycznych dla miejsc dostępnych dla ludności dla składowej magnetycznej pola

## **7. Stwierdzenie zgodności**

Na podstawie wytycznych podanych w Rozporządzeniu Ministra Zdrowia z dnia 17 grudnia 2019 r. w sprawie dopuszczalnych poziomów pól elektromagnetycznych w środowisku (Dz.U. 2019 poz. 2448) oraz sposobów sprawdzania dotrzymania tych poziomów zgodnie z Rozporządzeniem Ministra Klimatu z dnia 17 lutego 2020 r. w sprawie sposobów sprawdzania dotrzymania dopuszczalnych poziomów pól elektromagnetycznych w środowisku (Dz.U. 2020 poz. 258) oraz Rozporządzeniem Ministra Klimatu i Środowiska z dnia 6 maja 2022 r. zmieniającego rozporządzenie w sprawie sposobów sprawdzania dotrzymania dopuszczalnych poziomów pól elektromagnetycznych w środowisku (Dz.U. 2022 poz. 1121), dotyczących źródła wymagań, które muszą być spełnione, w oparciu o zasadę podejmowania decyzji zgodną z pkt 26 Rozporządzenia Ministra Klimatu z dnia 17 lutego 2020 r. (Dz.U. 2020 poz. 258), na podstawie wyników pomiarów pól elektromagnetycznych wykonanych w dniu 08.08.2022 stwierdzono, iż w miejscach dostępnych dla ludności, dopuszczalne poziomy pól elektromagnetycznych w środowisku, określone w przepisach wydanych na podstawie art. 122 ust. 1 ustawy z dnia 27 kwietnia 2001 r. – Prawo ochrony środowiska, uznaje się za dotrzymane w obszarze pomiarowym, w którym w wyniku zastosowania sposobu sprawdzenia dotrzymania dopuszczalnych poziomów pól elektromagnetycznych w środowisku, udokumentowano, że żadna z wartości wskaźnikowych nie przekracza wartości 1.

## **8. Oświadczenie.**

Wyniki badania odnoszą się wyłącznie do badanego obiektu.

Bez pisemnej zgody sprawozdanie nie może być powielane inaczej, jak tylko w całości.

Uwagi i zastrzeżenia przyjmowane są w formie pisemnej w ciągu 14 dni od daty otrzymania sprawozdania.

## **9. Spis załączników.**

Zał. 1. Lokalizacja obiektu.

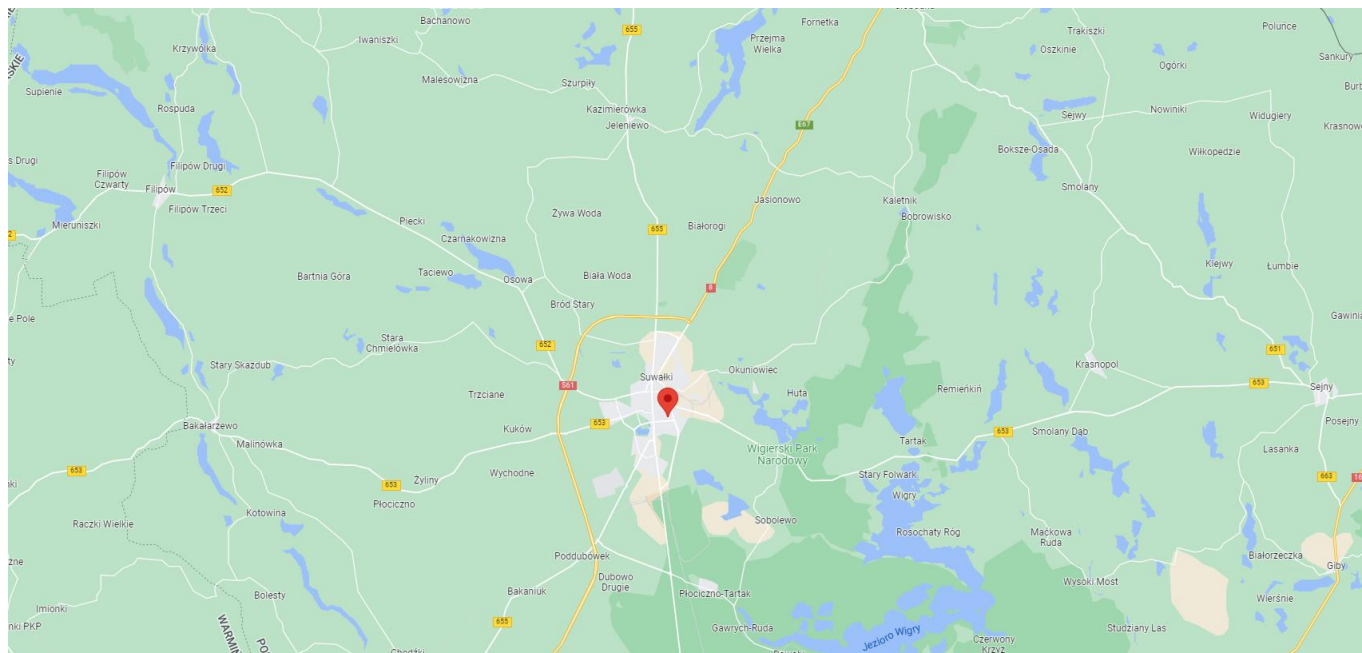
Zał. 2. Widok pionów pomiarowych

Zał. 3. Załączniki graficzne

**Koniec sprawozdania**

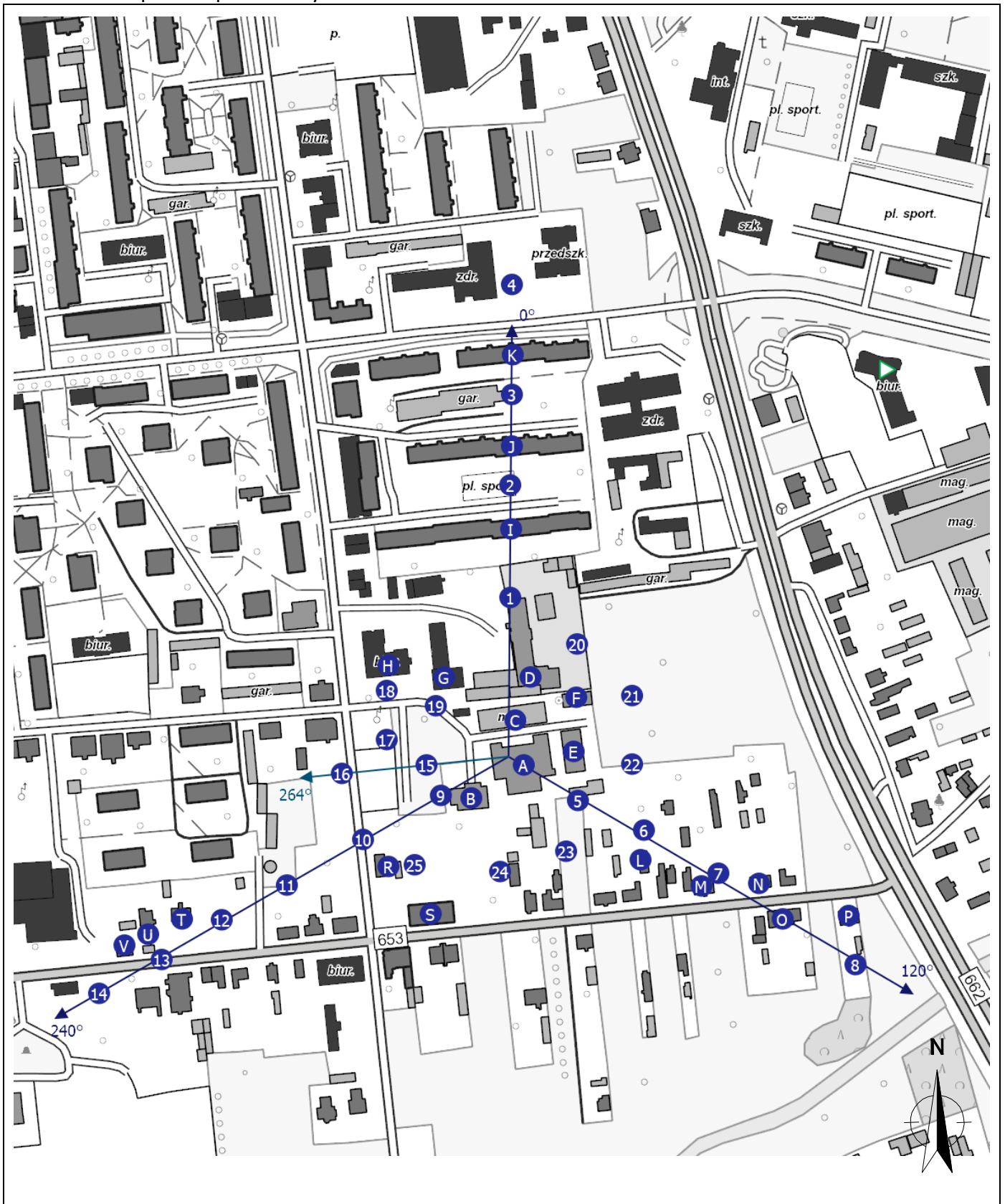


## Załącznik 1. Lokalizacja obiektu




Współrzędne geograficzne	
długość:	22°56'17.38"E
szerokość:	54°05'48.44"N

Załącznik 2. Widok pionów pomiarowych





LEGENDA:

 inna instalacja radiokomunikacyjna

 brak dostępu

 pion pomiaru

 antena sektorowa

 antena radioliowa

Skala:

1:5000



„Bez pisemnej zgody Laboratorium niniejsze sprawozdanie nie może być powielane inaczej, jak tylko w całości. Ponadto wyniki dotyczą tylko badanych obiektów przywołanych w niniejszym sprawozdaniu z badań”

33/08/OŚ/2022-P4-W

Załącznik 3. Załączniki graficzne.

